

# تحلیل مکانیک شکست و تخمین عمر رشد ترک خستگی پره توربین گاز با استفاده از روش المان محدود

استادیار، گروه مهندسی مکانیک، واحد پرند، دانشگاه آزاد اسلامی، پرند، ایران

کارشناس، گروه مهندسی مکانیک، واحد پرند، دانشگاه آزاد اسلامی، پرند، ایران

احمد مامندي\*

مصطفى رجبى

## چکیده

در این مقاله تحلیل مکانیک شکست و تخمین عمر خستگی پره ترکدار بخش داغ توربین کمپرسور گاز انجام شده است. در ابتدا با استفاده از نرمافزار المان محدود ANSYS تحلیل تنش پره بدون ترک تحت بارگذاری های حرارتی و مکانیکی شامل دوران، توزیع دما و فشار بر روی ایرفویل پره برای حالت پایای ۱۰۰ درصد انجام شده است. از نتایج این تحلیل، مناطق دلایی تنش بالا و مستعد رشد ترک در پره شناسایی می گردند. سپس با مدل سازی ترک در این نواحی، عمر رشد ترک خستگی تخمین زده می شود. برای این منظور، ابتدا در نرمافزار ANSYS برای ترکهایی با بعد مختلف مقدار ضرایب شدت تنش محاسبه می شود. سپس با استفاده از این مقادیر و نیز نمودار نخر رشد ترک بر حسب ضریب شدت تنش ماده ( $K_I$ )، نخر رشد ترک سیکلی برای ترکهایی با نسبت بعد مختلف ( $a/c$ ) محاسبه می گردد. در انتها با انتگرال گیری عددی، تعداد سیکل خستگی ( $N_f$ ) تا رسیدن به عمق ترک بحرانی ( $a_f$ ) برای پره توربین محاسبه شده اند.

واژه های کلیدی: توربین گاز، مکانیک شکست، پره بخش داغ توربین کمپرسور گاز، رشد ترک خستگی، تخمین عمر.

## Fracture Mechanics Analysis and Fatigue Crack Growth Life Assessment for a Gas Turbine Blade Using FEM

A. Mamandi Assistant Professor, Department of Mechanical Engineering, Parand Branch, Islamic Azad University, Parand, Iran

M. Rajabi B.Sc., Department of Mechanical Engineering, Parand Branch, Islamic Azad University, Parand, Iran

### Abstract

In this paper, the fracture analysis and fatigue crack growth life assessment for a gas turbine blade of the hot gas path is studied. At first, applying FEM analysis using ANSYS software, the stress analysis for the turbine balde with no crack in the case of steady state full load condition has been performed. In this way, thermomechanical loadings, i.e., rotational speed, temperature and pressure distributions are all included in the analysis. From the outcome results the critical regions on the blade airfoil surfaces having high stresses are recognized. Then, after modeling the crack in these regions the fatigue crack growth life assement analysis has be done. To do this, using ANSYS software the crack stress intensity factors ( $K_I$ ) for the cracks with different dimensions has been calculated. Having on hand the obtained values for  $K_I$  in conjecture with the specified graph for the crack growth rate, i.e., ( $da/dN$ ) vs. the crack intensity factor for the blade material, the cyclic crack growth rate for the cracks with different dimension ratios ( $a/c$ ) can be obtained. Finally, using numerical integration method, the number of cycles  $N_f$  to reach the critical crack depth value ( $a_f$ ) for the turbine balde has been calculated.

**Keywords:** Gas turbine, Fracture mechanics, Hot gas path compressor turbine blade, Fatigue crack growth, Life assessment.

## ۱- مقدمه

بررسی رشد ترک بر اساس منحنی  $S-N$  ووهلر<sup>۳</sup> توسط پاگنو و همکارانش بهدست آمده است. سپس، تابع شدت تنش بر حسب طول ترک ( $K(a)$ ) ارائه شده است. توسط اسول و همکارانش [۶]، سه مدل برای تخمین عمر خستگی، تخمین عمر خوشی و تخمین عمر ناشی از ترکیب خوش-خستگی برای پره ترکدار توربین معرفی شده است. توسط ماهاراج و همکارانش [۷]، مدل اتصال ریشه کاجی پره و دیسک توربین گاز برای تعیین مناطق تنشی بالا، برای مدل‌سازی و شبیه‌سازی ترک در آن مناطق در نرم‌افزار المان محدود ایجاد شده است. سپس، تخمین عمر ناشی از ترک برای آن انجام شده است. چویی و همکارانش [۸]، با شبیه‌سازی المان محدود در محل اتصال ریشه کاجی پره و دیسک توربین گاز، به بررسی علل شکست پره پرداخته‌اند. بررسی کریستالوگرافی در سطوح شکست پره توسط پاتیل و همکارانش [۹] مورد تحقیق قرار گرفته است. تخمین عمر خستگی-خوشی پره با شبیه‌سازی ترک در پره به کمک نرم‌افزار ABAQUS توسط سیمنوف و همکارانش [۱۰] مورد تحقیق قرار گرفته است. ترشیزی و همکارانش [۱۱]، با بررسی پره‌های برخی از توربین‌های گاز در ناوگان داخل کشور از دیدگاه‌های مختلف، نظریه سختی، ماده پره، شکل ظاهری، و SEM<sup>۴</sup> لایه‌های سطحی، ریز ساختار و کیفیت سطوح به تعیین و مشخص نمودن مکانیزم غالب در فرسایش پره‌ها پرداخته‌اند. از بررسی‌های آزمایشگاهی نتیجه گرفته شد که پره از جنس فولاد زنگنزن مارتزیتی دارای سختی تقریباً یکسان در تمامی قسمت‌ها می‌باشد و هیچ گونه تغییرات ساختاری که نشان‌دهنده تغییرات خواص ناشی از دمای کارکرد باشد مشاهده نمی‌گردد. همچنین علت اصلی فرسایش در پره‌ها نمی‌تواند به‌دلیل وجود ذرات خارجی در مسیر حرکت سیال در توربین باشد. در بررسی‌های انجام شده، اثر جریان هوا در وقوع پدیده سایش<sup>۵</sup> محتمل‌تر دانسته شده است. تحلیل تنش و تخمین عمر باقی‌مانده برای پره طبقه اول کمپرسور ترکدار توربین گاز SGT-600 زیمنس توسط مامندی و همکاران [۱۲] با استفاده از روش المان محدود انجام شده است.

بر اساس بررسی‌های انجام شده، مشخص گردیده است که تحقیق مستقلی برای تخمین عمر باقی‌مانده پره ترکدار بخش راست در توربین کمپرسور (CT) توربین گاز Ruston TA-1750 به کمک نرم افزار المان محدود انجام نشده است. آنچه تاکنون در مورد پره‌های بخش راست داغ توربین‌های گازی مختلف بیشتر مورد توجه محققان بوده، مطالعه از دیدگاه تخمین عمر متالورژیکی و تحلیل تنش موردي برای یک ترک خاص در پره توربین گاز بوده است و چگونگی رشد ترک و مدل‌سازی انتشار آن از حد آستانه (در زمان شروع رشد ترک) تا لحظه شکست نهایی برای تخمین عمر کلی و یا تخمین عمر باقی‌مانده با وجود یک ترک خاص در پره‌های توربین گاز به کمک روش المان محدود شبیه‌سازی نشده است. از سوی دیگر، تمامی

قطعات توربین‌های گازی در شرایط کاری تحت تنش‌های مکانیکی-حرارتی بالایی قرار دارند. به مرور زمان به‌دلیل شرایط سخت کاری و اعمال سطوح تنشی بالا در قطعات توربین گاز، تغییراتی در خواص مکانیکی و متالورژیکی این قطعات به وجود می‌آید. از سوی دیگر در طی فرایند تولید ماده سازنده قطعه، به دلایل مختلف، امکان ایجاد هر نوع عیب داخلی وجود دارد. این عیوب می‌توانند در ساختار شبکه‌ای ماده وجود داشته باشند. این عیوب و عوارض جانبی موجود در قطعه می‌توانند موجب ایجاد ترک اولیه و یا منشأ ایجاد ترک تنشی در زمان کارکرد در قطعه گردد. با ایجاد و بروز ترک در قطعه و سپس امکان پیش روی ترک تحت شرایط بارگذاری، خطر شکست ناگهانی در قطعه به وجود می‌آید. بدیهی است شکست قطعه می‌تواند موجب ایجاد خسارت‌های زیادی در توربین گاز گردد. در پی شکست یک قطعه خسارت‌های متعددی می‌تواند در قطعات در مسیر حرکت شامل دیسک‌ها، پره استاتورها (نازله‌ها) و پره‌های متحرک و محفظه احتراق ایجاد گردد. در این وضعیت حتماً خاموشی ناگهانی<sup>۱</sup> توربین گاز اتفاق می‌افتد. بررسی احتمال ایجاد ترک در مناطق گلوگاهی که دارای تنش‌های بالایی هستند حائز اهمیت می‌باشد. بنابراین شناخت مناطقی از قطعه که تنش‌های بالایی داشته و مستعدترین نواحی برای ایجاد ترک در قطعات توربین گاز هستند، برای انجام تحلیل مکانیک شکست بسیار مهم می‌باشد. به این دلیل، همراه با انجام تحلیل‌های ترمومکانیکی، انجام تحلیل مکانیک شکست ترک خستگی برای پره‌های متحرک در بخش کمپرسور توربین گاز از اهمیت بسزایی برخوردار است.

لوكجان [۱۳]، با انجام تست خستگی امکان شکست ناشی از ارتعاشات پره کمپرسور یک توربین هوایی را مورد بررسی قرار داده است. تست‌هایی بر روی ده نمونه از پره‌های کمپرسور تحت ارتعاشات شیکر انجام شده است. در حین انجام تست خستگی، بروز ترک ناشی از ارتعاشات خشمی ایرفویل پره مورد بررسی قرار گرفته است. سپس عمر خستگی پره‌ها به‌دست آمده است. وو [۲۴]، تخمین عمر مواد مختلف استفاده شده در پره‌های توربین گاز را به صورت مبسوطی مورد تحقیق قرار داده است. نرخ رشد ترک خوشی تحت میدان حاکم بر چرگمگی شکست  $K$  و  $C$  و زمان شکست خوشی  $T_f$  برای تعیین سرعت رشد ترک که از داده‌های حاصل از نتایج تست برای یک سوپرآلیاژ پایه نیکلی و یک فولاد زنگنزن توسط یو [۳۵] به‌دست آمده است. ما و همکارانش [۴۶]، رفتار رشد ترک خستگی برای دو سوپرآلیاژ پایه نیکلی 617 و INCONEL 617 و HAYNES230 را در آزمایشگاه تحت میدان شدت تنش ثابت با کنترل  $K$  تحت نسبت‌های تنش متفاوت  $R$  در دمای ۷۰۰ درجه سلسیوس را برای به‌دست آوردن نرخ رشد ترک  $da/dN$  مطالعه نموده‌اند. در [۵]، رابطه بسط داده شده پاریس<sup>۳</sup> برای

<sup>3</sup> Wohler diagram

<sup>4</sup> Scanning Electron Microscopy (SEM)

<sup>5</sup> erosion

<sup>1</sup> trip

<sup>2</sup> Paris law

(تقریباً ۱۲۰۰۰ دور در دقیقه<sup>۱۰</sup>) و سرعت دورانی توربین توان (PT) در شرایط عادی ۶۰۰۰ دور در دقیقه می‌باشد. سرعت محور خروجی<sup>۱۱</sup> بستگی به نوع چرخدنده گیربکس توربین دارد. سرعت بیش از حد<sup>۱۲</sup> توربین گاز، ده درصد بیشتر از سرعت محور خروجی در دور نامی (بار کامل ۱۰۰ در صد) می‌باشد. محدوده تغییرات سرعت<sup>۱۳</sup> دورانی توربین (در حالت بی باری یا با بار) مثبت و منفی ۴ درصد سرعت دورانی در بار نامی می‌باشد. حداکثر فشار روغن<sup>۱۴</sup> در شرایط معمولی بترتیب ۱۳ psi و ۲۰-۲۳ psi می‌باشد. حداکثر درجه دمای روغن در زمان اخطار و خاموشی ناگهانی به ترتیب ۶۶ و ۷۴ درجه سلسیوس می‌باشد. درجه روغن مصرفی توربین گاز از نوع HB100 و نوع سوخت مصرفی توربین، گاز طبیعی (خشک) می‌باشد [۱۳].



شکل ۱- نمایی از توربین گاز Ruston TA-1750 و اجزای آن C.T. inlet : (۱)، compressor turbine casing : (۲)، compressor : (۳)، cross-over duct : (۴)، air inlet duct : (۵)، casing : (۶)، air inlet casing : (۷)، combustion chamber : (۸)، compressor outlet volute : (۹)، compressor : (۱۰) [۱۳]

این توربین گاز از سه بخش عمده شامل: ۱- اجزای اصلی، ۲- اجزای کمکی و ۳- سیستم‌های جانبی تشکیل شده است.

<sup>10</sup> rpm (round per minute)

<sup>11</sup> output shaft

<sup>12</sup> over speed

<sup>13</sup> permanent drop

<sup>14</sup> lubeoil

نتایج موجود، در حالت خطی مورد بررسی قرار گرفته‌اند در حالیکه در این پژوهش رفتار غیرخطی رشد ترک نیز مورد بررسی قرار گرفته است.

در این مقاله، در ابتدا جهت آشنایی با موقعیت پره مورد نظر در سیستم توربین گاز، به معرفی بسیار مختصر قطعات اصلی دور توربین گاز Ruston TA-1750 و جانمایی اجزای آن و معرفی خواص مکانیکی و فیزیکی سوپرآلیاژ پایه نیکل IN738LC که در ساخت و جایگزینی پره مورد مطالعه بکار رفته، پرداخته شده است. سپس، با استفاده از نرم‌افزار المان محدود ANSYS تحلیل تنش پره طبقه اول بدون ترک بخشن داغ کمپرسور توربین گاز با درنظر گرفتن بارگذاری ترمومکانیکی برای حالت پایا<sup>۱</sup> شامل بارگذاری ناشی از دوران، توزیع سبعدی دما و فشار بر روی ایرفویل پره در بار ۱۰۰ (بار کامل<sup>۲</sup>) درصد انجام شده است. در ادامه، نتایج تحلیل مکانیک شکست برای پره توربین با خواص مکانیکی و بارگذاری ترمومکانیکی در حالت پایا در بار ۱۰۰ درصد با مدل‌سازی ترکی نمونه در منطقه دارای تنش بالا و سپس ایجاد مدل رشد ترک خستگی بر روی پره به دست آمده‌اند. سرانجام، با استفاده از کدهای کامپیوتربی نوشته شده، نتایج به دست آمده برای تعیین عمر رشد ترک خستگی پره ترکدار محاسبه شده است.

## ۲- شرح مختصری از توربین گاز و اجزای آن

در شکل ۱، نمایی از توربین گاز نصب شده در اتاق توربین گاز<sup>۳</sup> و اجزای شماره‌گذاری شده بر روی آن نشان داده شده است. این توربین گاز با توان خروجی نامی در شرایط جوی استاندارد STP (دمای محیط ۱۵ درجه سلسیوس و فشار جو در سطح دریا) برابر با  $1,35 \text{ MW}^4$  (معادل با  $1830 \text{ اسب بخار}^5$ ) از قدیمی‌ترین و یکی از پرتعادت‌ترین توربین‌های گازی در صنعت نفت کشور می‌باشد که در ایستگاه‌های تقویت فشار نفت و گاز<sup>۶</sup> در خطوط لوله نفت و گاز و تلمبه خانه‌ها بکار گرفته شده است [۱۳].

حداکثر درجه دمای مجاز گاز داغ ناشی از احتراق در محفظه احتراق توربین گاز در شرایط کارکرد ۸۴۰ درجه سلسیوس و حداکثر دمای گاز داغ در زمان اخطار<sup>۷</sup> (روشن شدن چراغ اخطار توربین)<sup>۸</sup> و خاموش شدن<sup>۹</sup> ۸۵۵ درجه سلسیوس می‌باشد. سرعت دورانی بخشن توربین کمپرسور (CT) در شرایط عادی در بار کامل ۱۰۰ در صد ۱۱۶۰۰

<sup>1</sup> steady state condition

<sup>2</sup> full load

<sup>3</sup> turbine room (hall)

<sup>4</sup> Mega Watt (وات  $1 = 10^6$  مگاوات)

<sup>5</sup> brake horse power (bhp)

<sup>6</sup> gas/oil compressor station

<sup>7</sup> warning

<sup>8</sup> max high temperature

<sup>9</sup> shut down

دو مرحله، سرعت گاز داغ افزایش یافته و به تدریج فشار و دمای گاز داغ کاهش می‌یابد. ساختمان آن تشکیل شده است از: الف-قطعه ثابت: بدنه بیرونی می‌باشد که از چهار قطعه یک چهارمی تشکیل شده است. پرهایی که روی آن نصب می‌شوند پرهای ثابت<sup>۵</sup> می‌باشد که وظیفه آنها شتاب دادن و هدایت کردن جریان گاز داغ به طرف پرهای متحرک می‌باشد. در هر ردیف تعداد ۷۶ عدد پره با ریشه دمچلجهای و با ۱۲ پایه<sup>۶</sup> قرار دارد و ب- قطعه متحرک: محور دور کمپرسور توربین است که در داخل محفظه قرار گرفته و دیسک آن از آلیاژهای مقاوم در برابر گرما ساخته شده است. روی دیسک شیارهایی به شکل ریشه درخت صنوبیری تراشیده شده و پرهای متحرک<sup>۷</sup> با ریشه صنوبیری در آن قرار می‌گیرند. این پرهها تحت تاثیر نیروهای ضربهای ناشی از جریان گاز داغ بر روی آنها دوران می‌نمایند. پرهای متحرک، آنتالپی گاز داغ را به انرژی مکانیکی به صورت گشتاور دورانی تبدیل می‌کنند. تعداد پرهای متحرک هر ردیف، ۸۳ عدد است. محور توربین، بخش تولید کننده توان محسوب می‌شود. در این بخش، ابتدا پرهای ثابت و سپس پرهای متحرک قرار دارند. طول پرهها از ابتدا به انتهای آن افزایش می‌یابند. جنس این پرهها از سوپرآلیاژهای مقاوم می‌باشد. پرهای توربین کمپرسور (CT) و بخش توربین توان (PT) بیشترین استحکام لازم را دارا می‌باشند زیرا همواره در مسیر حرکت جریان گاز داغ قرار دارند. این گازهای ناشی از احتراق، روی پرهها تاثیر مخرب گذاشته و به همین دلیل پرهها باید در برابر دمای بالا و زنگزدگی مقاومت مناسبی داشته باشند. همچنین، بدلیل نیروی گریز از مرکز، تنش کششی ناشی از دوران در دور بالا در ایجاد پدیده خستگی در پرهها تاثیر بسیار زیادی دارد. به طور کلی، مجموعه کمپرسور هوا و توربین کمپرسور بهوسیله یک محور گردان به یکدیگر متصل می‌شوند و هر دوی آنها، محور اول توربین را تشکیل می‌دهند.<sup>[۱۳]</sup>

## ۲-۲- بخش مولد توان (power generator) ۲-۲-۱- توربین توان (power turbine)

این بخش، محور دوم توربین گاز محسوب می‌باشد و دارای دو مرحله است که از نظر طرز قرار گرفتن پرهها و عملکرد آنها مانند بخش کمپرسور توربین می‌باشد در محور دوم، توان خروجی در دورها و بارهای متفاوت به کار گرفته می‌شود. ساختمان آن از دو بخش تشکیل شده است: الف- قسمت ثابت: که از چهار قطعه یک چهارم به هم وصل شده و پرهای ثابت

اجزای اصلی این توربین گاز به دو قسمت عمده تقسیم می‌شوند: ۱- بخش مولد گاز داغ (hot gas generator) شامل محفظه هوای ورودی (air inlet casing)، کمپرسور هوای (air compressor)، محفظه احتراق (combustion chamber) و توربین کمپرسور (compressor turbine) و ۲- بخش مولد توان (power generator) شامل توربین توان (turbine power) و جعبه دنده کاهنده (decreasing gear box). در ادامه، جهت آشنایی بیشتر با این توربین گاز، به معرفی بسیار مختصر از اجزای دوران آن شامل روتور و پرهای ثابت و متتحرک در سه قسمت کمپرسور هوا، توربین کمپرسور (CT) و توربین توان (PT) پرداخته شده است.

## ۲-۲- بخش مولد گاز داغ (hot gas generator) ۲-۱-۲- کمپرسور هوای (air compressor)

کمپرسور هوای این توربین گاز از نوع جریان محوری<sup>۱</sup> می‌باشد که دارای ۱۳ مرحله<sup>۲</sup> شامل الف- قطعه ثابت<sup>۳</sup>: دارای پرهایی چهت افزایش فشار هوا کمپرسور می‌باشد و ب- قطعه متتحرک<sup>۴</sup>: که قسمت داخلی کمپرسور می‌باشد و از مجموعه ۱۳ دیسک متعلق به هم تشکیل شده است. پرهایی که روی دیسک‌ها قرار گرفته‌اند پرهای متتحرک نام دارند که وظیفه آنها افزایش سرعت و فشار هوا می‌باشد. در شکل ۲، نمایی از ۱۳ مرحله کمپرسور هوا در توربین گاز Ruston TA-1750 نشان داده شده است [۱۳].



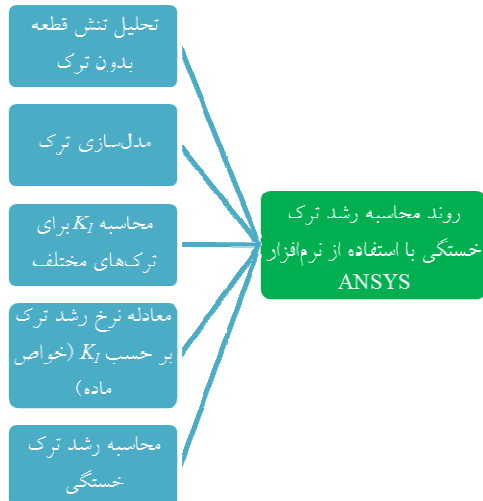
شکل ۲- نمایی از ۱۳ مرحله کمپرسور هوای (air compressor) توربین گاز Ruston TA-1750

## ۲-۱-۲- توربین کمپرسور یا بخش CT (turbine)

این قسمت از توربین گاز شامل دو مرحله است که بهوسیله آن انرژی گرمایی به توان مکانیکی محوری تبدیل می‌شود. در این

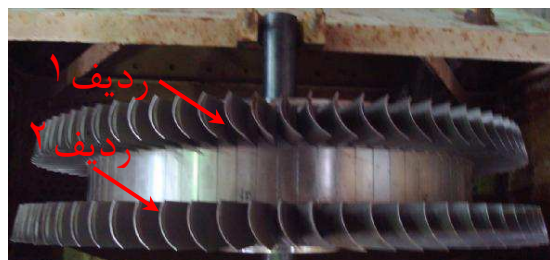
<sup>5</sup> stator blade  
<sup>6</sup> segment  
<sup>7</sup> rotor blade

<sup>1</sup> axial flow  
<sup>2</sup> stage  
<sup>3</sup> stator  
<sup>4</sup> rotor



شکل ۳- فلوچارت روند محاسبه عمر رشد ترک خستگی پره توربین  
گاز با استفاده از نرم‌افزار ANSYS

**۱-۳- مدل سازی پره، بارگذاری و تحلیل تنش**  
در شکل ۴، نمایی از پرههای ردیف اول<sup>۲</sup> و دوم<sup>۳</sup> بخش داغ Ruston TA-1750 توربین کمپرسور (CT) و دیسک توربین گاز در نظر گرفته شده است. پره ردیف اول در قسمت روتور یا توربین کمپرسور، بر روی دیسک روتور بعد از کمپرسور محوری قرار دارد.



شکل ۴- تصویری از دیسک و پرههای نصب شده ردیف اول و دوم بخش داغ توربین کمپرسور (CT) در توربین گاز Ruston TA-1750

در شکل ۵، نمایهای از مدل سه‌بعدی تهیه شده از پره ردیف اول بخش داغ توربین کمپرسور و دیسک توربین گاز در محیط نرم‌افزار مدل‌سازی SolidWorks نشان داده شده است. در شکل ۶، مدل سه‌بعدی هندسه پره ردیف اول بخش داغ کمپرسور (CT) بدون درنظر گرفتن دیسک توربین که در تحلیل‌ها بکار گرفته شده نشان داده شده است. در شکل ۷، برای مقایسه مدل، نمایهای از پره ردیف دوم بخش داغ کمپرسور (CT) توربین گاز نیز نشان داده شده است. مدل ورودی پره به نرم‌افزار ANSYS جهت تحلیل به طور کامل

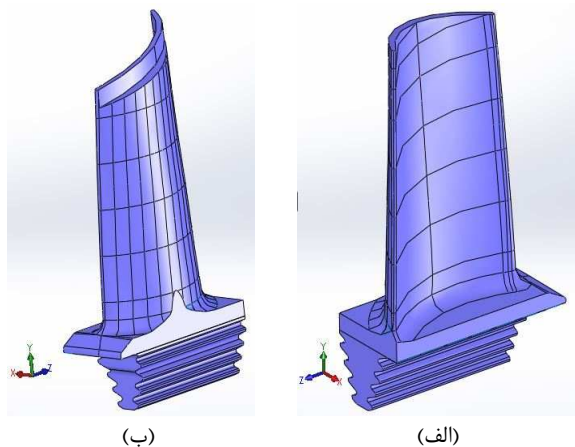
<sup>2</sup> first stage blade

<sup>3</sup> second stage blade

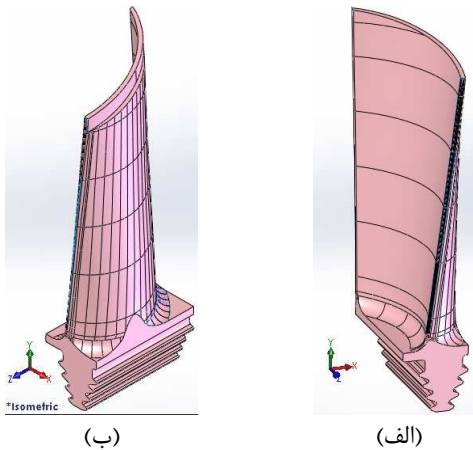
که روی آن قرار گرفته تشکیل شده است. کار این پرههای ثابت، مانند بخش توربین کمپرسور هوا می‌باشد. تعداد پرههای ثابت هر ردیف ۹۲ عدد با ریشه دمچله‌ای با ۱۲ پایه می‌باشد. **ب- قسمت متحرک:** محور چرخنده توربین توان که در داخل قرار گرفته و روی دیسک آن شیارهایی به شکل ریشه درخت صنوبری تراشیده شده که پرههای متحرک با همان پروفیل ریشه درخت صنوبری در آن جای می‌گیرند. این پرهها نیز در اثر نیروهای ضربه‌ای ناشی از جریان گاز داغ دوران می‌نمایند. تعداد پرههای متحرک هر ردیف ۹۷ عدد می‌باشد. با تبدیل انرژی گرمایی به انرژی مکانیکی، توان خروجی تولیدی به جعبه دندۀ منتقل می‌گردد [۱۳].

### ۳- تحلیل تنش پره توربین بدون ترک

در شکل ۳، فلوچارت روند محاسبه رشد ترک خستگی با استفاده از نرم‌افزار ANSYS نشان داده شده است. لازم به ذکر است که در انجام تحلیل‌ها، نتایج بارگذاری در حالت پایای پره توربین به دست آمده است. به این معنا که دامنه تغییرات بین کمینه و بیشینه مقدار بارگذاری برابر با مقدار حالت پایا در نظر گرفته شده است. پس از مدل‌سازی المان محدود پره بدون ترک طبقه اول بخش داغ نوربین گاز و با انجام تحلیل بر روی آن در بارگذاری ترمومکانیکی داده شده در حالت پایا در بار ۱۰۰ درصد توزیع تنش‌های نرمال و برشی سه‌بعدی در قطعه به دست می‌آید. سپس از روی توزیع تنش به دست آمده، مناطق بحرانی از نظر تنشی تعیین می‌گردد. مناطق بحرانی تنشی پره، محل‌هایی بر روی پره است که در آن مناطق میدان سه‌بعدی تنش قطعه، دارای بیشترین مقادیر بوده و بنابراین امکان ایجاد ترک خستگی ناشی از کارکرد در این مکان‌ها بیشتر از سایر نقاط پره بر روی سطح ایرفویل آن خواهد بود. بنابراین، این مناطق، معیار مناسبی برای انتخاب محل ایجاد ترک خستگی بر اساس تنش اصلی<sup>۱</sup> (و یا تنش فون مایسز) تحلیل مکانیک شکست پره خواهند بود.



شکل ۶- مدل سه بعدی هندسه پره ردیف اول بخش داغ توربین کمپرسور (CT) در توربین گاز Ruston TA-1750، (الف) نمای رو برو از سمت فشار پره، (ب) نمای رو برو از سمت مکش پره



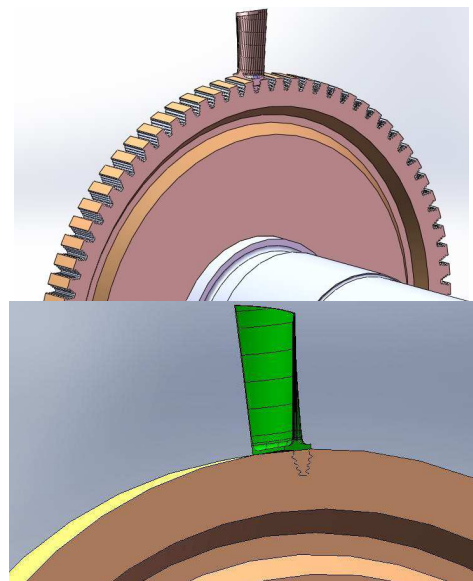
شکل ۷- مدل سه بعدی هندسه پره ردیف دوم بخش داغ توربین کمپرسور (CT) در توربین گاز Ruston TA-1750، (الف) نمای رو برو از سمت فشار پره، (ب) نمای رو برو از سمت مکش پره

### ۲-۱-۳ ترکیب شیمیایی، خواص فیزیکی و مکانیکی سوپرآلیاژ IN738LC

در این مقاله، ماده جایگزین شده برای پره ردیف اول بخش داغ توربین کمپرسور (CT) توربین گاز Ruston TA-1750 سوپرآلیاژ پایه نیکل IN738LC در نظر گرفته شده است. در جدول ۱، آنالیز ترکیبات شیمیایی این سوپرآلیاژ ارائه شده است. در جدول ۲، خواص مکانیکی و فیزیکی سوپرآلیاژ IN738LC ارائه شده است. در جدول ۲،  $E$  مدول الاستیسیته،  $S_y$  مقاومت تسلیم،  $S_{ut}$  مقاومت نهایی کششی،  $\nu$  ضریب پوآسون،  $\alpha$  ضریب انبساط گرمایی،  $C$  ظرفیت گرمایی ویژه و  $K$  رسانایی گرمایی<sup>۴</sup> ماده می باشد.

همان مدل واقعی پره است و از همین مدل دقیقاً برای ساخت پره که به روش ریخته گری دقیق صورت می گیرد استفاده می شود. معمولاً در مدل های هندسی پیچیده، ساده سازی هایی بر روی آن تا جایی که بر نتایج تحلیل تأثیر محسوسی نگذارد انجام می شود ولی در این مقاله جهت انجام تحلیل ها، برای دست یابی به دقت های بالاتر هیچ گونه ساده سازی بر روی مدل هندسی پره صورت نگرفته است. پره دارای سه قسمت ریشه، پلاتiform و ایرفویل است. در پره، تمامی سطوح سمت فشار و مکش، لبه حمله<sup>۱</sup> و لبه فرار<sup>۲</sup> از دیدگاه تنشی دارای اهمیت می باشند. ریشه پره که از نوع کاجی شکل<sup>۳</sup> یا به اصطلاح دم چلچله ای- که گاهی ریشه صنوبری نیز خوانده می شود- محل اتصال و محکم شدن پره به دیسک است.

**۳-۱-۱ شرایط مرزی پره ردیف اول و دیسک توربین گاز**  
به عنوان شرط مرزی، برای ساده سازی بیشتر فرض شده است که پره در داخل دیسک ثابت می باشد و فقط در جهت دوران حول محور روتور دارای درجه آزادی است که با شرایط واقعی تکیه گاهی پره و دیسک سازگار است. بنابراین پره در جهات سه گانه اصلی مختصات دکارتی  $x$ - $y$ - $z$  و همچنین گردش حول دو محور  $x$  و  $y$  قادر درجه آزادی بوده و ثابت است و فقط حول محور روتور دارای گردش و در راستای محور  $z$  دارای درجه آزادی می باشد (برای تجسم جهت محورهای مختصات، شکل ۵ و شکل ۶ را ببینید).



شکل ۵- نمایی از مدل سه بعدی پره مونتاژ شده بر روی دیسک توربین گاز Ruston TA-1750

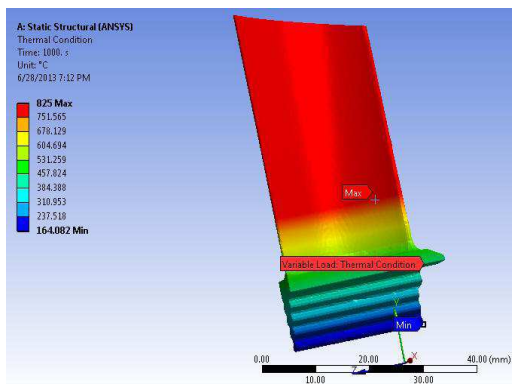
<sup>1</sup> leading edge

<sup>2</sup> trailing edge

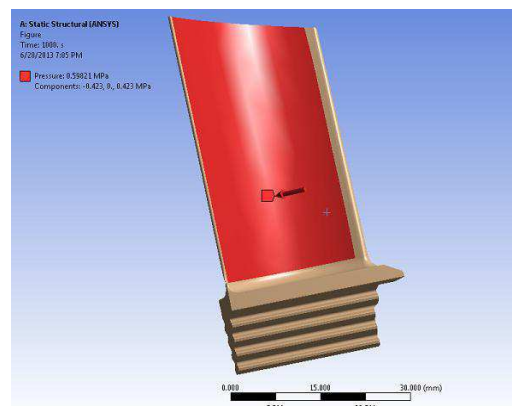
<sup>3</sup> fir-tree root

<sup>4</sup> thermal conductivity coefficient

دیسک) در تحلیل المان محدود، گرادیان دمایی بین پره و دیسک بوجود می‌آورد که باعث ایجاد اختلاف دمای تقریباً قابل ملاحظه‌ای در محل تماس دیسک و پره می‌گردد. جهت اجتناب از این وضعیت که تنها ناشی از خطای حل در شبیه‌سازی حل المان محدود است فرض می‌شود که انتقال حرارت از پره بر روی دیسک صورت می‌گیرد و به دیسک منتقل می‌گردد و انتقال گرما از سمت دیسک بر روی پره نمی‌باشد تا مشکل حل عددی گرادیان دمایی در منطقه تماس این دو ایجاد نگردد. لازم به بیان است که مقدار میانگین فشار گاز داغ حاصل از احتراق بر روی ایرفویل پره برابر با  $0.423 \text{ MPa}$  ( $61.3 \text{ psi}$ ) می‌باشد. همچنین لازم به ذکر است که برای انجام تحلیل‌ها، استقلال از مش مورد نیاز صورت گرفته است که در ادامه به تشریح آن پرداخته شده است.



شکل ۸- توزیع دما در پره بخش داغ توربین گاز بدون ترک (نمای روپرتو از سمت فشار ایرفویل پره)



شکل ۹- سطح فشار در پره بخش داغ توربین گاز بدون ترک (نمای روپرتو از سمت فشار ایرفویل پره)

## جدول ۲- آنالیز ترکیبات شیمیایی سوپرآلیاژ IN738LC بکار رفته در پره ردیف اول بخش داغ توربین کمپرسور (CT) [۱۴]

نام عنصر	W	Ti	Mo	Cr	C
Min (%)	۲.۴	۳.۲	۱.۵	۱۵.۷	۰.۰۹
Max (%)	۲.۸	۳.۷	۲.۰	۱۶.۳	۰.۱۳
نام عنصر	Ni	Fe	Al	Ta	Co
Min (%)	balanced	۰.۱	۳.۲	۱.۴	۰.۰
Max (%)		۰.۳۵	۳.۷	۲.۰	۰.۰

## جدول ۳- خواص مکانیکی و فیزیکی سوپرآلیاژ IN738LC

بکار رفته در پره ردیف اول بخش داغ توربین کمپرسور (CT) [۱۴]

کمیت	$S_{ut}$ (MPa)	$S_y$ (MPa)	$E$ (GPa)	$V$
مقدار	۰.۲۹	۸۹۵	۶۹۰	۲۰۰
کمیت	$K$ (W/m.K)	$C$ (J/Kg.K)	$\alpha$ (1/ $^{\circ}$ C)	
مقدار	۲۳.۵	۴۲۰	$116 \times 10^{-6}$	

## ۳-۱-۳ شرایط دمایی، فشاری و شرایط اولیه در حالت پایا

در این بخش، نتایج تحلیل تنش‌های مکانیکی-حرارتی برای پره ردیف اول توربین کمپرسور (CT) واقع در بخش داغ توربین گاز Ruston TA-1750 با خواص مکانیکی سوپرآلیاژ پایه نیکل IN738LC و بارگذاری داده شده در حالت پایا در بار ۱۰۰ درصد ارائه شده است. در انجام این تحلیل‌ها، فشار و دمای حالت پایا در بار ۱۰۰ درصد بر روی مدل سه‌بعدی پره اعمال شده است. همچنین، سرعت دورانی برابر با  $12000 \text{ rpm}$  در بار ۱۰۰ درصد برای پره در شرایط کاری در نظر گرفته شده است. لازم به ذکر است که از زمان استارت توربین گاز در حدود صد ثانیه زمان لازم است تا روتور به سرعت دورانی مذکور برسد و سپس تنش‌ها در چرخش پره پس از مدت هزار ثانیه به حالت پایا می‌رسند. در این زمان، پره به حداکثر شرایط دمایی کاری خود در حالت پایا می‌رسد.

در شکل ۸ و شکل ۹، به ترتیب کانتور توزیع دما بر روی ایرفویل و ریشه و کانتور توزیع فشار در پره بدون ترک نشان داده شده‌اند. بیشینه دمای پره توربین در شرایط کاری در حالت پایا برابر با  $825$  درجه سلسیوس می‌باشد. توزیع دما به شکلی است که ریشه پره دمایی در حدود  $164$  تا  $300$  درجه سلسیوس دارد و دما در راستای محور طولی پره افزایش می‌یابد و اکثر سطح ایرفویل دارای بیشترین میزان دما برابر با  $825$  درجه سلسیوس می‌باشد. همچنین، در شبیه‌سازی المان محدود تحلیل تنش در حالت پایا فرض شده که از گرادیان دمایی از دو سو در انتقال گرما بین پره و دیسک صرف‌نظر شده است. این فرض به این دلیل است که وجود شرط مرزی تماس<sup>۱</sup>

<sup>1</sup> contact

#### ۴-۱-۳ تحلیل نتایج و بررسی استقلال نتایج از مش

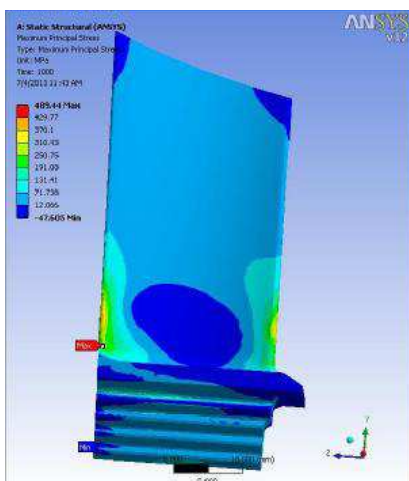
برای مش بندی پره از سه نوع مش مختلف (اندازه<sup>۱</sup>) استفاده شده است تا بتوان با مقایسه مشاهدات مختلف در خصوص استقلال نتایج به دست آمده از نوع مش بندی، بحث و بررسی لازم صورت پذیرد. در جدول ۳، نتایج همگرایی حل ارائه شده است.

با بررسی نتایج بدست آمده در جدول ۳ مشاهده می‌شود که بیشترین اختلاف به دست آمده بین تنش اصلی اول ( $\sigma_1$ ) در حدود ۷ MPa در بیشترین تنش کششی است که این اختلاف نسبی در حدود ۱۴ درصد از مقدار کل تنش می‌باشد. این مورد بیانگر همگرایی حل المان محدود بوده و هر سه نوع مش بندی با تقریب قابل قبولی مقدار تنش واردہ بر پره را نشان می‌دهند. در این پژوهش، از مش شماره ۱ در تحلیل‌ها بهره گرفته شده است.

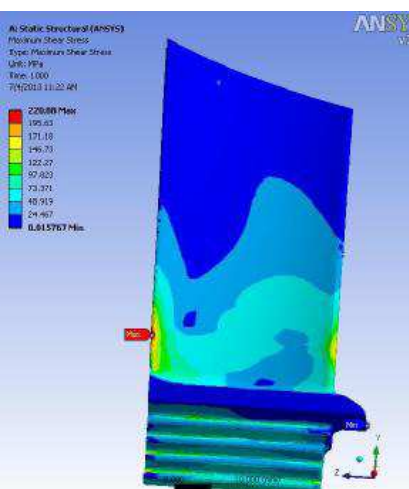
**جدول ۳**- بررسی همگرایی پاسخ‌ها و استقلال نتایج تحلیل از اندازه مش

$\sigma_1$ (MPa)			تعداد المان	نوع المان	شماره مش
	max	min		سایز المان min-max (mm)	
۴۸۴,۱۴	-۹۶,۴۲۴	۱۳۰۶۹۹	۸۴۴۵۷	۳ و جهی	۱
				۰,۱۰-۳,۰	
۴۸۹,۴	-۴۷,۶	۷۶۹۴۴	۴۷۳۸۴	۴ و جهی	۲
				۰,۱۷-۳,۴	
۴۹۱,۵	-۷۹,۷	۳۵۲۳۱	۲۱۲۵۴	۳ و جهی	۳
				۳,۳۴-۶,۸۷	

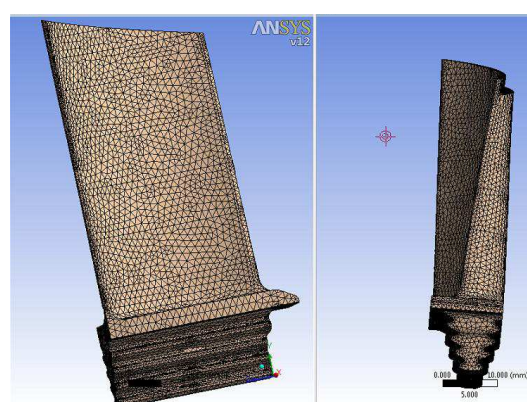
در شکل ۱۰، المان‌بندی پره بدون درنظر گرفتن دیسک توربین که در تحلیل‌ها بکار گرفته شده نشان داده شده است.



شکل ۱۱- توزیع تنش اصلی در پره توربین بدون ترک



شکل ۱۲- توزیع تنش برشی در پره توربین بدون ترک



شکل ۱۰- نمایهای از المان‌بندی پره بخش داغ توربین گاز

<sup>۱</sup> size

#### ۴- خواص مکانیک شکست ماده پره توربین

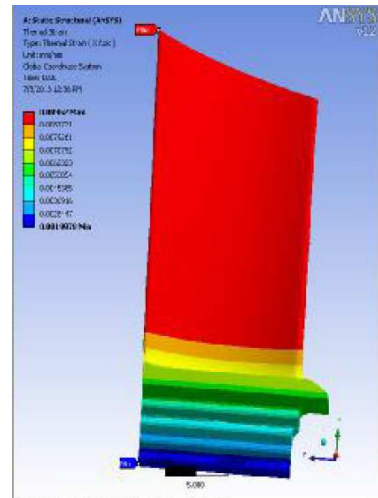
در شکل ۱۵، منحنی‌های نرخ رشد ترک خستگی بر حسب مقاومت در برابر شکست برای ماده IN738LC در  $R$  های مختلف نشان داده شده است [۱۴]. لازم به ذکر است که پارامتر نسبت تنش  $R$  که بر روی منحنی‌های این شکل مشاهده می‌گردد عبارت است از نسبت تنش حداقل به تنش حداکثر در بارگذاری دینامیکی قطعه که با  $R = \sigma_{min}/\sigma_{max}$  بیان می‌گردد. لازم به ذکر است که از شکل ۱۵ برای  $R = 0.3$  مقدار آستانه مقاومت در برابر شکست  $K_{th}$  که نشان دهنده پارامتر تنشی برای شروع رشد ترک است برابر با  $K_{th} = 5.53 \text{ MPa}\sqrt{\text{m}}$  بدست می‌آید. همچنین مقاومت نهایی شکست ماده  $K_f$  (یا  $K_{IC}$ ) که به ازای آن شکست نهایی برای ماده پره اتفاق می‌افتد،  $K_f = K_{IC} = K_{max} = 43.02 \text{ MPa}\sqrt{\text{m}}$  بدست می‌آید. باید توجه نمود که به ازای  $R$  های مختلف مقادیر متفاوتی برای  $K_f$  و  $K_{th}$  بدست می‌آید. به طور کلی مقادیر  $K_{th}$  و  $K_f$  با افزایش مقدار  $R$  افزایش می‌یابند. در این پژوهش، خواص ماده در بارگذاری  $R = 0.3$  برای ماده IN738LC به عنوان مبنای تحلیل مکانیک شکست در پره استفاده شده است. ولی باید متذکر گردد که در صورت موجود بودن خواص مکانیک شکست برای ماده در  $R = 0$  مناسب‌ترین  $R$  برای تحلیل مکانیک شکست قطعات،  $R = 0$  می‌باشد. زیرا به دلیل تناوب بار در خاموش و روشن شدن توبین گاز، تنش‌های سیستم از مقدار صفر تا بیشینه مقدار تغییر می‌کنند.

لازم به ذکر است که رابطه خطی حاکم بر قسمت خطی منحنی  $K_{Imax}$  بر حسب  $da/dN$  در مختصات لگاریتمی به عنوان رابطه پاریس شناخته می‌شود [۱۵]. به عبارت دیگر قسمت خطی این منحنی را می‌توان با معادله یک خط راست ( $y = ax + b$ ) تقریب زد. در شکل ۱۶، برای ماده IN738LC منحنی مرتبط با معادله پاریس (قسمت خطی منحنی)  $\log(da/dN)$  بر حسب  $\log(K_{Imax})$  در  $R = 0.3$  نشان داده شده است. معادله این خط راست عبارت است از:

$$\log(da/dN) = 3.7107 \times (\log(K_{Imax}) - 11.511) \quad (1)$$

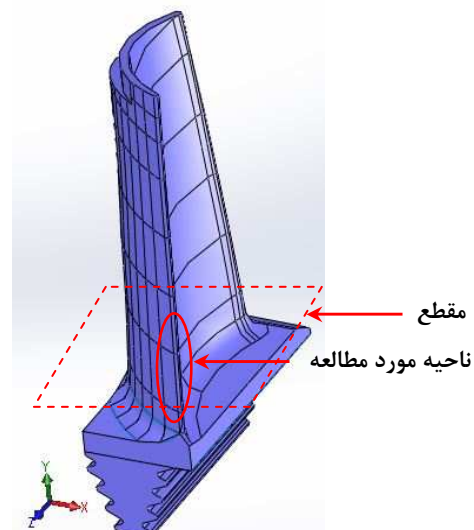
با  $R^2 = 1$

از روی معادله خط راست حاکم بر رفتار رشد ترک خستگی ماده در رابطه (۱)، ضرایب رابطه پاریس  $da/dN = C(K_i)^m$  به صورت  $[15]$  به صورت  $C = 10e-11.511$  و  $m = 3.7107$  به دست آمده‌اند.



شکل ۱۳- توزیع کرنش در پره توربین بدون ترک

در شکل ۱۴، مقطع مورد مطالعه در پره ردیف اول بخش داغ توربین گاز که در بخش‌های آتی بر روی آن ترک‌هایی با طول مشخص برای انجام تحلیل مکانیک شکست در نظر گرفته شده‌اند نشان داده شده است. دلیل انتخاب این مقطع به عنوان نمونه در این منطقه تنشی پره، به این علت است که این مقطع در منطقه قرارگیری در بیشترین تنش‌های مکانیکی حرارتی پره واقع است که این شرایط کاری امکان بروز ترک و پیشروی آن در این مقطع را بسیار بیشتر از مناطق دیگر در سطح ایرفویل پره خواهد نمود. لازم به ذکر است که تحلیل عمر باقی‌مانده ترک ناشی از خستگی با مدل‌سازی مرحله به مرحله رشد ترک، پارامتر شدت تنش الاستیک<sup>۱</sup> ( $K_I$ ) در دهانه ترک توسط نرم‌افزار ANSYS محاسبه شده است که در ادامه به تفصیل شرح داده شده است.



شکل ۱۴- مقطع مورد مطالعه در لبه فرار پره ردیف اول بخش داغ توربین کمپرسور (CT) توربین گاز

<sup>۱</sup> stress intensity factor

## ۵- تحلیل مکانیک شکست و تخمین عمر باقیمانده

### پره ترکدار توربین گاز

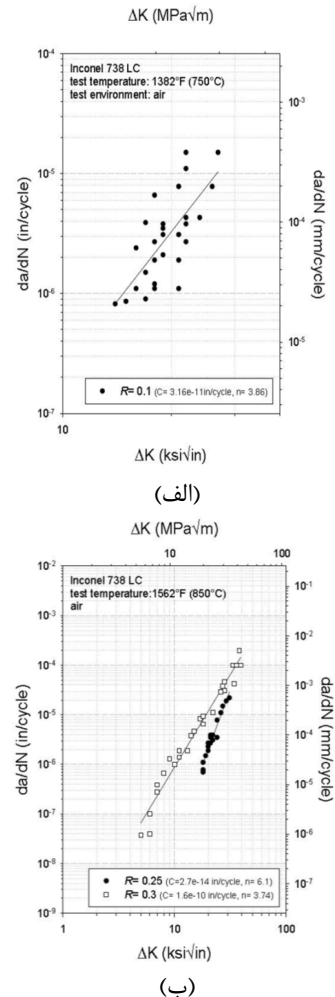
در این بخش پس از مدل‌سازی ترک در لبه فرار پره به کمک نرم افزار المان محدود و با استفاده از مدل رشد ترک خستگی با بهره‌گیری از رابطه پاریس و تهیه کد کامپیوتری، تخمین عمر خستگی پره ترک دار توربین گاز انجام شده است.

### ۱-۵- مقطع مورد مطالعه در تحلیل مکانیک شکست

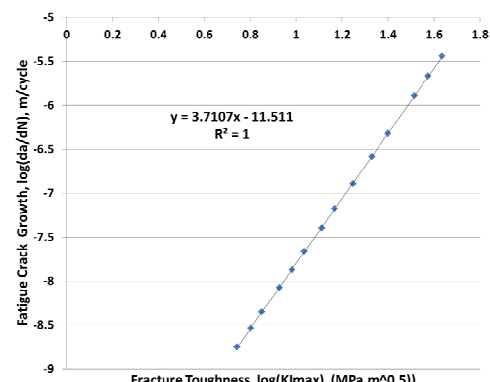
پس از بررسی استقلال از مش، تحلیل مکانیک شکست با استفاده از نتایج تحلیل تنش سه‌بعدی انجام شده در کل پره و در مقطع واقع در ناحیه ایرفویل پره در بخش بالای پایین‌ترین سطح مربوط به ریشه کاجی شکل پره ارائه شده‌اند (بخش ۳-۴-۱ را ببینید). در توضیخات بخش‌های بعدی، بر روی این مقطع ترک‌هایی با طول مشخص برای انجام تحلیل مکانیک شکست در نظر گرفته شده است.

لازم به ذکر است که نتایج به دست آمده از تحلیل تنش سه‌بعدی پره نشانگر این مورد است که بیشترین تنش چه تنش‌های برشی و چه تنش‌های اصلی در مقطع لبه فرار پره در قسمت‌های پایین پره اتفاق می‌افتد که برای شبیه سازی ترک این مقاطع به عنوان مقاطع بحرانی تنشی پره در نظر گرفته شده‌اند. از سوی دیگر، تجربیات بازسازی‌کنندگان قطعات توربین گاز و مشاهدات شکست پره‌هایی که در توربین‌ها رخداده است مویدی بر انتخاب درست این محل‌ها برای شبیه‌سازی ترک می‌باشد. اکثر پره‌های دچار شکست کامل و پره‌هایی که در تست‌های غیر مخبر<sup>۱</sup> NDT در آنها میکروترک مشاهده می‌شود در بیشتر مواقع در ناحیه لبه فرار پره در مختصات نزدیک به مرکز ایرفویل رو به پایین به سمت ریشه اتفاق می‌افتد که این امر به دلیل نیروی گریز از مرکز بیشتر در قسمت‌های پایین‌تر ایرفویل می‌باشد. زیرا با توجه به رابطه مربوط به نیروی گریز از مرکز  $F = mr\omega^2$ ، بدلیل وجود مقدار جرم بیشتر در قسمت‌های پایین‌تر پره، در حین کارکرد نیروی گریز از مرکز در آن منطقه از پره، بیشتر می‌باشد. این مورد باعث افزایش تنش در مقاطع پایین‌تر در سطح ایرفویل پره می‌گردد. از سوی دیگر به دلیل استحکام بالا و ضخامت بیشتر در ریشه پره، مقدار مینیمم تنش در ناحیه ریشه پره اتفاق می‌افتد.

لازم به ذکر است که پره به صورت ریخته‌گری دقیق ساخته می‌شود و در فرآیند ساخت پره، ایرفویل پره ماشین‌کاری نمی‌شود (مگر ماشین‌کاری بسیار محدود برای سایز کردن طول tip پره). ایرفویل پره ممکن است دارای مقداری تنش‌های



شکل ۱۵- منحنی‌های نرخ رشد ترک خستگی  $da/dN$  بر حسب مقاومت در برابر شکست  $K_{I_{max}}$  برای ماده IN738LC (الف) دمای  $75.0^{\circ}\text{C}$  و (ب) دمای  $85.0^{\circ}\text{C}$  [۱۳]



شکل ۱۶- منحنی  $\log(da/dN)$  بر حسب  $\log(K_{I_{max}})$  (معادله پاریس) در  $R = 0/3$  برای ماده IN738LC به کار رفته در پره بخش داغ توربین گاز

<sup>۱</sup> Non Destructive Test (or Non Destructive Examination: NDE)

## ۲-۵- محاسبه $K_I$ برای تحلیل مکانیک شکست پره توربین با ترک پیشروی کننده

پس از اطمینان یافتن از استقلال از مش در نتایج بهدست آمده برای کل پره بدون ترک در بخش داغ توربین گاز، تحلیل مکانیک شکست برای پره ترکدار انجام شده است. در ادامه، نتایج بهدست آمده از تحلیل المان محدود برای توزیع پارامتر  $K_{I\max}$  برای مدل ترک در پره ارائه شده اند. سپس، پس از مدل سازی مراحل پیش روی ترک در پره، محاسبات عمر رشد ترک خستگی برای پره ترکدار انجام گرفته است. محاسبات عمر خستگی بر اساس نتایج تحلیل المان محدود برای پره ترکدار شامل محاسبه عمر رشد ترک خستگی بر اساس رابطه پاریس ارائه شده است. برای این منظور با مدل سازی ترک هایی نیم بیضوی با ابعاد متفاوت ( $a/c$ ) در نرم افزار المان محدود ANSYS، نتایج تحلیل المان محدود مکانیک شکست برای ایجاد و شبیه سازی مرحله ای رشد ترک خستگی در پره طبقه اول توربین به دست آمده است. برای این منظور ترک هایی نیم بیضوی با  $a/c = 0.5$  در مقاطع مورد مطالعه در پره در نظر گرفته شده اند. سپس نتایج حاصل از تحلیل مکانیک شکست توسط نرم افزار ANSYS محاسبه شده اند. لازم به ذکر است که  $a$  عمق ترک و  $c$  نصف طول ترک می باشد.

در شکل ۱۸، به عنوان نمونه، هندسه المان بندی در اطراف ترک برای پره توربین گاز نشان داده شده است. با انجام تحلیل تنش، المان بندی مناسب برای انجام تحلیل ترک به دست آمده است. در شکل ۱۸، پارامترهای تاثیر گذار در انجام تحلیل ترک نشان داده شده اند. این چهار پارامتر مهم عبارتند از: ۱- تعداد تقسیمات محیطی المان های نوک ترک، ۲- تعداد تقسیمات شعاعی المان های نوک ترک، ۳- تعداد تقسیمات در طول ترک و ۴- شعاع دایره المان های نوک ترک.



شکل ۱۸- هندسه المان بندی در اطراف ترک

پسماند انقباضی-انبساطی ناشی از جمع شدگی<sup>۱</sup> در ریخته گری دقیق باشد. ریشه پره که پس از ریخته گری دقیق با روش سنگ زنی خرزشی ماشین کاری می شود دارای تنفس پس ماند نمی باشد. همچنین در طی کار کرد، ریشه پره تحت فشار گاز نمی باشد که این امر نیز باعث کاهش تنفس (به ویژه تنفس فشاری-کششی ناشی از تنفس های خمشی) در ریشه پره نسبت به ایرفویل آن می گردد. به دلیل وجود تنفس های فشاری-کششی نوسانی<sup>۲</sup> در پره، پدیده خستگی در تحلیل ها برای طراحی و ساخت پره باید مد نظر قرار گیرد. اگرچه پدیده واماندگی خرزشی نیز عامل واماندگی در توربین های گازی می باشد ولی به سبب دور بالای کار کردی توربین های گازی و به دلیل اینکه پره در زمان کار کرد سیکل های کاری بسیاری را طی می کند شکست ناشی از ترک خستگی پدیده بسیار مهم در واماندگی پره های توربین گازی می باشد. بنابراین در پژوهش حاضر، معیار انتخاب محل ایجاد ترک با استفاده از نتایج به دست آمده از تحلیل های تنفس، با نتایج مشاهده شده از آزمایش های غیر مخرب دارای تطابق می باشد. لازم به ذکر است مکانیزم خرابی دیگر در پره ها و پوشش آنها، مکانیزم خوردگی (اکسیداسیون) می باشد. ولی در تحقیق حاضر از اکسیداسیون سطحی پره به دلیل اینکه تحلیل تنفس در زمان کوتاهی انجام شده است و جهت اجتناب از پیچیدگی بیشتر صرف نظر شده است. در شکل ۱۷، تعدادی از پره های واقع در بخش کمپرسور هوای توربین گاز Ruston TA-1750-که برای بازرسی و انجام تست غیر مخرب<sup>۳</sup> (آزمایش مواد نافذ) جهت شناسایی محل بروز ترک های احتمالی از روی توربین باز شده اند- نشان داده شده است.

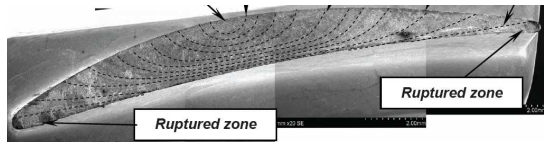


شکل ۱۷- بازرسی و انجام تست غیر مخرب جهت شناسایی محل بروز ترک های احتمالی بر روی تعدادی از پره های بخش کمپرسور هوای توربین گاز Ruston TA-1750

<sup>1</sup> shrinkage

<sup>2</sup> cyclic

<sup>3</sup> penetrant test



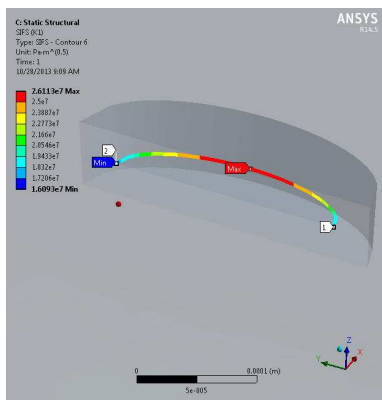
شکل ۱۹- شماتیک مقطع نمونه شکست در رشد ترک خستگی پره طبقه اول کمپرسور توربین گاز هوایی [۱]

برای مدل سازی و بررسی رشد ترک در پره با بهره گیری از الگوی رشد ترک خستگی شبیه آنچه که در مرجع [۱] نشان داده شده، ترک هایی با ابعاد مشخص (در این مقاله، مقدار در نظر گرفته شده  $a/c = 0,5$ ) در منطقه حضور ترک در مقطع پره طبقه اول بخش داغ توربین گاز ایجاد شده است.

#### ۴-۵- محاسبه $K_I$ برای تحلیل مکانیک شکست پره توربین با ترک پیشروی کننده

پس از ایجاد مدل ترک در پره با مدل سازی ترک های نیم بیضوی با ابعاد ( $a/c$ ) متفاوت در نرم افزار المان محدود ANSYS، نتایج تحلیل المان محدود مکانیک شکست برای ایجاد و شبیه سازی مرحله ای رشد ترک خستگی شامل محاسبه  $K_I$  برای ترک هایی با ابعاد مختلف در پره توربین با خواص مکانیکی و بارگذاری داده شده به دست آمده است.

در شکل ۲۰، شکل ۲۱ و شکل ۲۲، توزیع  $K_I$  در محل ترک به ترتیب برای ترک های شماره ۲، ۴ و ۷ (جدول ۴) برای پره توربین نشان داده شده است.



شکل ۲۰- توزیع  $K_I$  در محل ترک برای ترک شماره ۲ در پره بخش داغ توربین گاز از تحلیل مکانیک شکست

در جدول ۴، ابعاد هندسی در مدل سازی چند ترک و مقدار  $K_{I\max}$  برای پره ترک دار در مقطع نمونه از پره ارائه شده اند.

جدول ۴- ابعاد هندسی ترک و مقدار محاسبه شده  $K_{I\max}$  برای پره ترک دار در مقطع نمونه

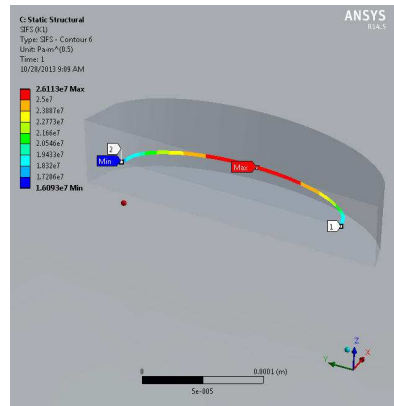
$K_{I\max} (MPa\sqrt{m})$	$c$ (mm)	$a$ (mm)	شماره ترک در تحلیل FEM
۲۲,۷۶۹	۰,۰۷۵	۰,۰۳۷۵	۱
۲۶,۱۱۳	۰,۱	۰,۰۵	۲
۳۴,۹۲۹	۰,۲۵	۰,۱۲۵	۳
۳۵,۵۴۷	۰,۵۰	۰,۲۵	۴
۳۷,۹۳۷	۱	۰,۵۰	۵
۴۱,۴۹۳	۱,۵	۰,۷۵	۶
۴۲,۸۹۷	۱,۷۵	۰,۸۷۵	۷
۴۴,۱۰۷	۲	۱	۸

لازم به ذکر است که اعتبارسنجی مورد نیاز برای مقایسه نتایج بدست آمده از روش المان محدود با نتایج تحلیلی در مورد یک ترک بیضی شکل (ترک نمونه) در مدل سازی در بارگذاری کامل برای پره های توربین گاز با نمونه های ساده تر موجود در مرجع [۱۲] انجام شده است و جهت اجتناب از طولانی شدن متن، در این مقاله آورده نشده است.

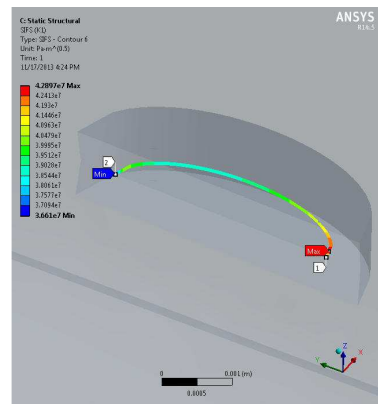
#### ۴-۳- ایجاد مدل مکانیک شکست برای ترک پیشروی کننده در پره

در شکل ۱۹، مقطع شکست (خط چین های روی سطح مقطع در شکل که به beach mark معروفند) و چگونگی رفتار رشد مرحله ای ترک خستگی در پره طبقه اول بخش کمپرسور توربین گاز هوایی متعلق به یک هلی کوپتر نشان داده شده است [۱]. با به کار گیری الگوی رشد ترک خستگی و مدل سازی ترک هایی با هندسه مشخص (در نظر گرفتن  $a/c$  های مختلف در مقطع پره توربین)، می توان دامنه تغییرات پارامتر  $K_{I\max}$  را برای طول ترک های مختلف به دست آورد. سپس با داشتن این دامنه تغییرات و مقایسه آن با مقادیر محاسبه شده، می توان طول ترکی را که به ازای مقادیر بیشتر از آن، ترک شروع به رشد می کند، پیدا نمود. این طول ترک متناظر با مقاومت در برابر شکست آستانه ( $K_{th}$ ) برای ماده پره توربین خواهد بود. همچنین می توان با مقایسه مقادیر به دست آمده از تحلیل المان محدود برای محاسبه  $K_{I\max}$  با مقدار نهایی و حداقل آن یعنی  $K_{IC}$  از منحنی های شکل ۱۶، طول ترک نهایی  $2c_f$  را به دست آورد.

کاری، تعداد روش و خاموش شدن هایی<sup>۱</sup> است که توربین در بارگذاری ۱۰۰ درصد در حالت پایا به صورت مانور کاری Normal Start-100% Load (or Full Load)-Normal Shut down خواهد داشت. این بدین معنا است که پس از روشن شدن توربین و رسیدن وضعیت کاری (حرارتی-مکانیکی) تمامی قطعات توربین به حالت پایا، این وضعیت کاری برای پره به عنوان حالت پایا فرض گردیده تا درنهایت توربین خاموش گردد. کل این دوره به عنوان یک سیکل کاری برای پره در نظر گرفته شده است. باید این مطلب خاطر نشان گردد که هر طول ترکی توسط روش های مرسوم و متداول بازرسی غیرمخرب (NDT) قابل شناسایی نیست. معمولاً اندازه ترکی که توسط روش های بازرسی غیرمخرب شناسایی می گردد بین ۰.۵ تا ۱ میلی متر در نظر گرفته شده است [۱۵]. نتایج ارائه شده در جدول ۵ و جدول ۶ به ترتیب براساس رابطه پاریس بر مبنای منحنی خطی رشد ترک و براساس رابطه پاریس بر مبنای رابطه غیرخطی رشد ترک ارائه شده اند. باید مذکور شد که در جدول ۵ و جدول ۶، فرض شده است که ترکی به عمق ۰.۳۷۵ mm در پره طبقه اول بخش داغ توربین گاز وجود دارد به طوری که عمر خستگی و مقادیر ارائه شده در این دو جدول برای رشد ترک های پس از این طول ترک موجود محاسبه شده اند. به این معنا که این طول ترک به عنوان ترک موجود در قطعه برای انجام محاسبات عمر باقیمانده<sup>۲</sup> پره در رشد از این طول به کار گرفته شده است. در جدول ۶، عمر رشد ترک خستگی و  $K_{lmax}$  محسوب شده برای ماده پره طبقه اول بخش داغ توربین بر اساس رابطه غیرخطی ارائه شده است. لازم به ذکر است که به ازای عمق ترک های برابر با ۱ mm در مقطع مورد مطالعه پره، مقدار  $K_{lmax}$  به صورت موضعی در نقطه ای بر روی این مقطع از مقدار نهایی مقاومت در برابر شکست ماده پره  $K_{lmax} > K_f$  بیشتر می گردد ( $K_f = K_{IC} = ۴۴/۱۰۷ \text{ MPa}\sqrt{\text{m}}$ ). این بدین معنا است که پره طبقه اول بخش داغ توربین به ازای این عمق ترک ها، تحت این شرایط بارگذاری در بار ۱۰۰ درصد دچار شکست خواهد شد که عملاً در این شرایط امکان رشد و وجود ترک های با عمق بیش از ۱ در پره وجود نخواهد داشت. لازم به ذکر است که در نرم افزار ANSYS برای به دست آوردن رفتار  $K_l$  بر حسب عمق ترک، مقدار  $a/c$  ترک مطابق جدول ۴ در نظر گرفته شده است.



شکل ۲۱- توزیع  $K_l$  در محل ترک برای ترک شماره ۴ در پره بخش داغ توربین گاز از تحلیل مکانیک شکست



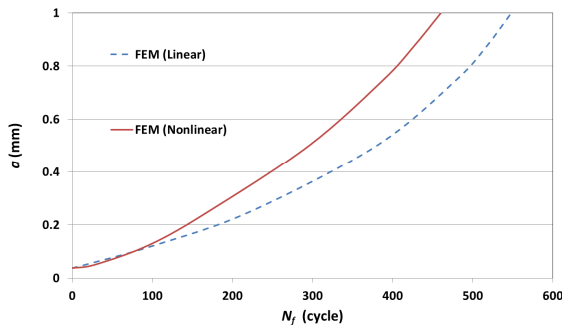
شکل ۲۲- توزیع  $K_l$  در محل ترک برای ترک شماره ۷ در پره بخش داغ توربین گاز از تحلیل مکانیک شکست

### ۵-۵- استخراج نمودار طول ترک بر حسب سیکل با استفاده از کد انتگرال گیری عددی

در جدول ۵ و جدول ۶، نتایج محاسبات تخمین عمر رشد ترک خستگی و  $K_{lmax}$  محاسبه شده بر اساس رابطه پاریس برای جنس IN738LC به کار رفته در پره ارائه شده اند. در جدول ۵ و جدول ۶ ستون مربوط به متوسط نرخ رشد ترک در هر سیکل، بیانگر متوسط رشد ترکی به عنوان نمونه به عمق ۰.۲۵ mm به ازای یک سیکل کاری می باشد و عکس این کمیت بیانگر تعداد سیکل لازم برای رشد ترکی (افزایش طول ترک) با اندازه اولیه مشخص در واحد طول می باشد. به عنوان مثال از جدول ۵ می توان مشاهده نمود که برای رسیدن (رشد یا افزایش طول) از ترکی به عمق ۰.۵ mm به ترکی به طول ۰.۷۵ mm تعداد ۱۰۰ سیکل کاری (در حالت پایا که مورد تحلیل قرار گرفته است) نیاز است. به عبارت دیگر متوسط رشد یک ترک در افزایش طولی به اندازه ۰.۲۵ mm در رشدی از ۰.۵ mm به ۰.۷۵ mm برابر با  $0.249 \mu\text{m}$  در هر سیکل کاری می باشد. لازم به ذکر است که در حالت پایا منظور از سیکل

<sup>1</sup> start and stop

<sup>2</sup> remaining life



شکل ۲۳- منحنی رشد عمق ترک  $a$  بر حسب تعداد سیکل  $N_f$  با استفاده از نرم افزار ANSYS برای دو تحلیل خطی و غیرخطی برای ترک هایی به طول  $a \geq 0,0375$  mm

## ۶- نتیجه گیری

در این مقاله، تحلیل تنش پره طبقه اول بدون ترک بخش داغ توربین گاز در بارگذاری ترمومکانیکی برای حالت پایا در بار ۱۰۰ درصد برای تعیین مناطق گلوگاهی از نظر تنشی انجام شد. این مناطق گلوگاهی تنشی بر روی پره، محل هایی بر روی پره است که در آن مناطق میدان تنش قطعه دارای مقادیر ماکزیمم بوده و بنابراین امکان ایجاد ترک خستگی ناشی از کارکرد در این مکان ها بیشتر از سایر نقاط پره بر روی سطح ایرفویل پره است. سپس نتایج تحلیل مکانیک شکست برای پره با خواص مکانیکی و بارگذاری ترمومکانیکی در حالت پایا در بار ۱۰۰ درصد با مدل سازی ترکی در منطقه تنشی بالا و سپس ایجاد مدل رشد ترک خستگی بر روی پره به دست آمد. سرانجام نتایج به دست آمده برای تعیین عمر رشد ترک خستگی پره ترکدار ارائه شد.

نتایج به دست آمده از تحلیل المان محدود شامل توزیع تنش های ترمومکانیکی شامل توزیع تنش اصلی، تنش برشی، توزیع پارامتر  $K_{I\max}$  و توزیع کرنش برای مدل ترک پیشروی کننده در پره ارائه شد. پس از مدل سازی مراحل پیشروی ترک در پره، محاسبات عمر رشد ترک خستگی برای پره انجام گرفت. محاسبات عمر خستگی بر اساس نتایج تحلیل المان محدود برای پره ترکدار شامل محاسبه عمر رشد ترک خستگی بر اساس رابطه پارسیس بر مبنای منحنی استخراج شده برای رفتار نرخ رشد طول ترک خستگی در هر سیکل کاری بر حسب طول ترک ارائه شد. مشاهد گردید که برای یک ترک با عمق مشخص، تحلیل خطی بر اساس رابطه پارسیس، عمر رشد ترک خستگی بیشتری را نسبت به تحلیل غیرخطی پیش بینی می کند.

جدول ۵- عمر رشد ترک خستگی و  $K_{I\max}$  محاسبه شده براساس رابطه خطی رشد ترک برای پره توربین

$da/dN_{ave}$ (m/cycle)	$N_f$ (cycle)	$K_{I\max}$ (MPa $\sqrt{m}$ )	$a$ (mm)
-	-	۲۸/۳۰۴	۰,۰۳۷۵
۰,۰۰۰۷۶۴	۱۶,۳۵۸	۲۸,۵۳۰	۰,۰۵
۰,۰۰۰۸۴۸	۱۰,۴۷۷۸	۲۹,۸۸۴	۰,۱۲۵
۰,۰۰۰۱۰۶	۲۲۲,۲۷۶	۳۲,۱۴۱	۰,۲۵
۰,۰۰۰۱۵۸	۳۷۹,۹۲	۳۶,۶۵۵	۰,۵۰
۰,۰۰۰۲۴۹	۴۸۰,۱۵۲	۴۱,۱۶۹	۰,۷۵
۰,۰۰۰۳۳۵	۵۱۷,۴۱۴	۴۳,۴۲۵	۰,۸۷۵
۰,۰۰۰۴۰۶۷	۵۴۸,۱۵۱	۴۵,۶۸۲	۱

جدول ۶- عمر رشد ترک خستگی و  $K_{I\max}$  محاسبه شده براساس رابطه غیرخطی رشد ترک برای پره توربین

$da/dN_{ave}$ (m/cycle)	$N_f$ (cycle)	$K_{I\max}$ (MPa $\sqrt{m}$ )	$a$ (mm)
-	-	۲۲,۹۱۷	۰,۰۳۷۵
۰,۰۰۰۴۴۳	۲۸,۱۹۴۸	۲۵,۹۱۵	۰,۰۵
۰,۰۰۱۱۰	۹۶,۴۲۳	۳۵,۰۰۲	۰,۱۲۵
۰,۰۰۱۷۰	۱۶۹,۸۷۱	۳۵,۵۱۷	۰,۲۵
۰,۰۰۱۹۹	۲۹۵,۴۱۶	۳۷,۹۴۷	۰,۵۰
۰,۰۰۲۶۷	۳۸۸,۹۵۶	۴۱,۴۸۵	۰,۷۵
۰,۰۰۳۳۰	۴۲۶,۶۴۰	۴۲,۹۰۱	۰,۸۷۵
۰,۰۰۳۷۱	۴۶۰,۲۹۶	۴۴,۱۰۶	۱

در شکل ۲۳، نتایج تحلیل ترک از روش المان محدود به کمک نرم افزار ANSYS (ارائه شده در جدول ۵ و جدول ۶) برای محاسبه منحنی رشد ترک خستگی بر حسب تعداد سیکل برای ترک اولیه ای به عمق  $0,0375$  mm در پره بر مبنای تحلیل خطی و تحلیل غیرخطی نشان داده شده است. در واقع شکل ۲۳ بیانگر تخمین عمر خستگی باقیمانده برای رشد ترک موجود  $0,0375$  mm در پره توربین می باشد. از شکل ۲۳ مشاهده می شود که برای یک ترک با عمق مشخص، تحلیل خطی بر اساس رابطه پارسیس، عمر رشد ترک خستگی بیشتری را نسبت به تحلیل غیرخطی پیش بینی می کند. به عبارت دیگر، به ازای یک عمر رشد ترک خستگی مشخص، عمق ترکی که از رابطه خطی محاسبه می گردد، کمتر از عمق ترکی خواهد بود که از رابطه غیرخطی به دست می آید.

[10] Semenov A., Semenov S., Nazarenko A., and Gestov L., "Computer simulation of fatigue, creep and thermal fatigue cracks in gas-turbine blades", MTAEC9, vol. 46, no. 3, pp. 1-7, 2012.

[11] موسوی ترشیزی ابراهیم، روحی حیدر، "آالیز خرابی پرهای کمپرسور در یک توربین گاز"، بیست و دومین کنفرانس بین المللی برق، تهران، ۱۳۸۷.

[12] Mamandi A., et al., "Fracture mechanics analysis of SGT-600 gas turbine compressor blade using FEM", The 3rd National Gas Turbine Conference (GTC93), Mechanical Engineering Faculty, Iran University of Science and Technology, Tehran, Iran, 20-21 May 2014. Proceeding published in conference book.

[13] تصاویر و مطالب برگرفته شده از شبکه جهانی اینترنت

[14] Brown W. F., "Aerospace Structural Metals Handbook, CINDAS/USAF CRDA Handbooks Operation", Purdue University, 1997.

[15] Dowling N. E., "Mechanical Behavior of Materials, Engineering Methods for Deformation, Fracture and Fatigue." 2nd ed., 1999.

## - نمادها

$K$	ضریب شدت تنش
$a$	عمق ترک
$c$	نصف طول ترک
$R$	نسبت تنش کمینه به بیشینه
$N$	تعداد سیکل
$\sigma$	تنش
$th$	حد آستانه (ضریب شدت تنش)
$IC$	حد نهایی (ضریب شدت تنش)
$f$	حد نهایی (ضریب شدت تنش)
$max$	بیشینه (ضریب شدت تنش)
$I$	مود اول شکست
$min$	مقدار کمینه
$max$	مقدار بیشینه

## مراجع

- [1] Lucjan W., "Experimental crack propagation analysis of the compressor blades working in high cycle fatigue condition", Fatigue of Aircraft Structures, vol. 1, pp. 195-204, 2009.
- [2] Wu X., 'Life Prediction of Gas Turbine Materials", Institute for Aerospace Research, National Research Council, Canada, pp. 215-283, 2010.
- [3] Yu J., "The link between crack velocity and rapture time in creeping solids", Engineering Fracture Mechanics, vol. 53, no. 2, pp. 213-230, 1996.
- [4] Ma L., and Roy M. S.K., "Effect of load ratio on fatigue crack propagation behavior of solid-solution-strengthened Ni-based super alloys at elevated temperature", Journal of Nuclear Materials, vol. 435, pp. 88-95, 2013.
- [5] Pugno N., Ciavarella M., Cornetti P., and Carpinteri A., "A generalized Paris' law for fatigue crack growth", Journal of the Mechanics and Physics of Solids, vol. 54, pp. 1333-1349, 2006.
- [6] Assoul Y., and Benblaid S., "Life estimation of first stage high Pressure Gas Turbine Blades", Scientific Technical Review, vol. 8, no. 2, pp. 18-13, 2008.
- [7] Maharaj Y. C., Morris A., and Dear J. P., "Modelling of creep in Inconel 706 turbine disc fir-tree", Materials Science & Engineering A, vol. 558, no. 2, pp. 412-421, 2012.
- [8] Choi Y. S., and Lee K.-H., "Investigation of blade failure in a gas turbine", Journal of Mechanical Science and Technology, vol. 24, no. 10, pp. 1969-1974, 2010.
- [9] Patil A. A., and Shirsat U. M., "Study of failure analysis of gas turbine blade", IOSR Journal of Engineering, vol. 2010, pp. 37-43, 2010.